

## Новый тип материалов для высокочувствительных инфракрасных фотоприемников

Б. А. Акимов, Н. Б. Брандт, Л. И. Рябова, Д. Р. Хохлов

Московский государственный университет им. М. В. Ломоносова, Москва, Россия

*Представлены свойства легированных полупроводников на базе теллурида свинца, на основе которых возможно создание высокочувствительных фотонных приемников излучения инфракрасного и субмиллиметрового диапазонов. Показано, что эти свойства позволяют создать фотоприемники с параметрами, существенно превосходящими лучшие мировые аналоги.*

Большинство современных фотоприемных систем, работающих в дальнем инфракрасном (ИК) диапазоне 20—200 мкм, создается на основе "классических" полупроводниковых материалов — германия или кремния, легированных мелкими примесями [1]. Наибольшая величина длины волны, соответствующей красной границе фотоэффекта, для квантового приемника излучения в настоящее время составляет  $\lambda_r \approx 220$  мкм [2] и наблюдается в одноосно-деформированном Ge(Ga).

Уникальные свойства узкозонных полупроводниковых материалов класса IV—VI, легированных элементами третьей группы — индием и галлием, предоставляют весьма перспективную альтернативную возможность для создания высокочувствительных фотоприемных систем дальнего ИК-диапазона.

В настоящей работе рассмотрены физические принципы работы фотоприемных систем на базе легированных сплавов на основе теллурида свинца; приведены преимущества этих систем по сравнению с традиционными, а также проведено прямое сравнение параметров рассматриваемых систем с лучшими образцами традиционных систем.

### Стабилизация уровня Ферми

Одной из характерных черт полупроводников класса IV—VI, связанной с особенностями их фазовых диаграмм, является высокое отклонение от стехиометрического состава, достигающее  $\sim 10^{-3}$  и определяющее значительную дефектность материала. Все дефекты роста — вакансии и междуузельные атомы — являются электроактивными, поэтому концентрация свободных носителей заряда, не "вымерзающих" при низких температурах, составляет, как правило, не ниже  $10^{18} \text{ см}^{-3}$ .

Легирование теллурида свинца индием в количестве  $N_{\text{In}}$ , превышающем концентрацию других электрически активных примесей и дефектов  $N_i$ , приводит к стабилизации уровня Ферми на  $E_F \sim 70$  мэВ выше дна зоны проводимости. При

$N_{\text{In}} > N_i$  величина  $E_F$  практически не зависит от количества введенной примеси  $N_{\text{In}}$  [3].

Аналогичный эффект наблюдается в PbTe(Ga), но существуют и значительные отличия от легирования индием. Стабилизация уровня Ферми происходит лишь в довольно узком диапазоне концентрации введенного галлия, а вне этого диапазона галлий действует как донор. В указанном диапазоне уровень Ферми стабилизируется в запрещенной зоне на  $\sim 70$  мэВ ниже дна зоны проводимости, обеспечивая полуизолирующее состояние полупроводника при низких температурах [4].

Важным следствием эффекта стабилизации уровня Ферми является практическая абсолютная воспроизводимость параметров энергетического спектра образцов PbTe(In) и PbTe(Ga) независимо от способа синтеза, степени очистки исходных компонент и т. д. Данное свойство определяет высокий процент выхода и относительную дешевизну производства рассматриваемых материалов.

Еще одно важное следствие стабилизации уровня Ферми — гомогенизация электрофизических свойств материала. Так, в PbTe(In) со стабилизованным уровнем Ферми разрешается более 50 периодов осцилляций Шубникова-де Гааза (ШдГ) [5], что свидетельствует о чрезвычайно высокой однородности полупроводника.

Эффект стабилизации уровня Ферми наблюдается также в ряду твердых растворов  $\text{Pb}_{1-x}\text{Sn}_x\text{Te}(\text{In})$ . Расположение стабилизированного уровня Ферми  $E_F$  в этом случае определяется содержанием олова в сплаве. В PbTe ( $x = 0$ ) уровень  $E_F$  находится на  $\sim 70$  мэВ выше дна зоны проводимости. По мере увеличения величины  $x$  уровень  $E_F$  приближается к дну зоны проводимости, пересекает запрещенную зону в диапазоне составов  $0,22 < x < 0,28$ , а затем выходит в валентную зону, обеспечивая рост концентрации свободных дырок [6].

Таким образом, в области составов  $0,22 < x < 0,28$  реализуется полуизолирующее состояние, для которого проводимость определяется термоактивацией с уровнем  $E_F$  в разрешенные зоны, и кон-

центрация свободных носителей заряда чрезвычайно мала —  $n, p < 10^8 \text{ см}^{-3}$  при низких температурах —  $T < 10 \text{ К}$ .

Указанное обстоятельство делает очень привлекательной идею использования рассматриваемых материалов в качестве приемников ИК-излучения.

### Задержанная фотопроводимость

ИК-подсветка приводит к драматическому увеличению проводимости материала при температурах  $T < T_{al}$ , где величина  $T_{al}$  составляет около 25 К для сплавов, легированных индием, и около 80 К — для объемных образцов PbTe(Ga). Температурная зависимость сопротивления PbTe(Ga) (кривые 1, 1') и Pb<sub>0,75</sub>Sn<sub>0,25</sub>Te(In), в котором уровень Ферми стабилизирован на ~20 мэВ ниже дна зоны проводимости (кривые 2, 2'), измеренная в темноте (кривые 1, 2) и в условиях подсветки (кривые 1', 2'), представлена на рис. 1. Фотоотклик достигает нескольких порядков величины при  $T \ll T_{al}$ .

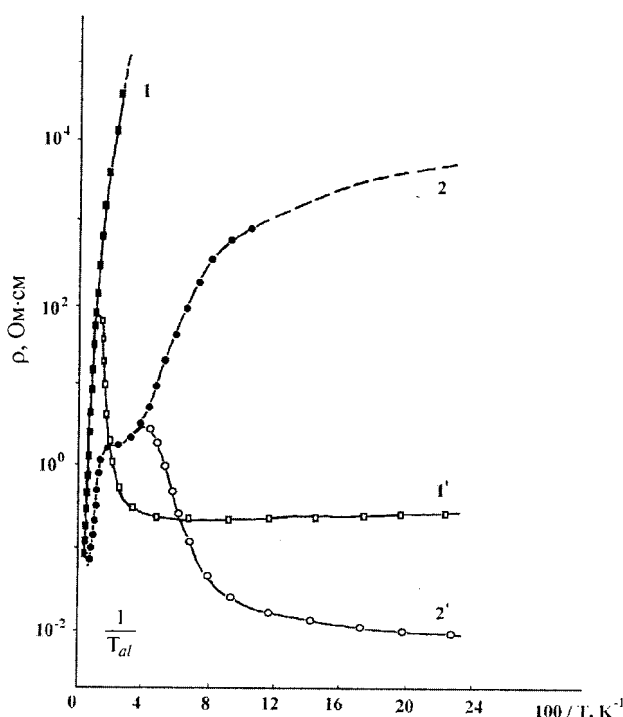


Рис. 1. Температурная зависимость сопротивления PbTe(Ga) (1 и 1') и Pb<sub>0,75</sub>Sn<sub>0,25</sub>Te(In) (2 и 2'), снятые в условиях темноты (1 и 2) и под действием инфракрасной подсветки (1' и 2')

Высокая величина фотоотклика является следствием эффекта задержанной фотопроводимости. Такой эффект наблюдается в материалах, где время жизни свободных неравновесных носителей заряда аномально велико, более 10<sup>5</sup> с, при низких температурах.

Существуют различные точки зрения относительно механизма задержанной фотопроводимости в легированных сплавах на основе теллурида свинца [7—10]. Общим для всех моделей является появление микроскопического потенциального барьера между состояниями системы с локализованным и свободным электроном. Наличие такого барьера приводит к накоплению фотовозбужденных свободных электронов в зоне проводимости, поэтому фотоотклик оказывается линейно зависящим от времени.

В то же время данные по релаксации задержанной фотопроводимости в Pb<sub>1-x</sub>Sn<sub>x</sub>Te(In) и в PbTe(Ga) невозможно интерпретировать, принимая во внимание только один локальный уровень. Экспериментальные результаты указывают на существование еще одного локального примесного состояния, которое является метастабильным.

В частности, релаксация фотопроводимости при низких температурах состоит из двух участков: первоначальный быстрый спад фотоотклика с характерным временем  $\tau \sim (1-10)$  мс сменяется гораздо более медленным ( $\tau \sim 10^5$  с) (рис. 2) [11]. Относительная амплитуда участка быстрой релаксации зависит не только от расположения основного примесного состояния в спектре полупроводника, но и от концентрации примеси [11] и от условий фотовозбуждения в одном и том же образце [12]. Эти результаты можно объяснить, лишь предположив, что существуют два различных локальных уровня. Концентрация и пространственное распределение этих состояний определяют кинетику неравновесных процессов в Pb<sub>1-x</sub>Sn<sub>x</sub>Te(In) и PbTe(Ga).

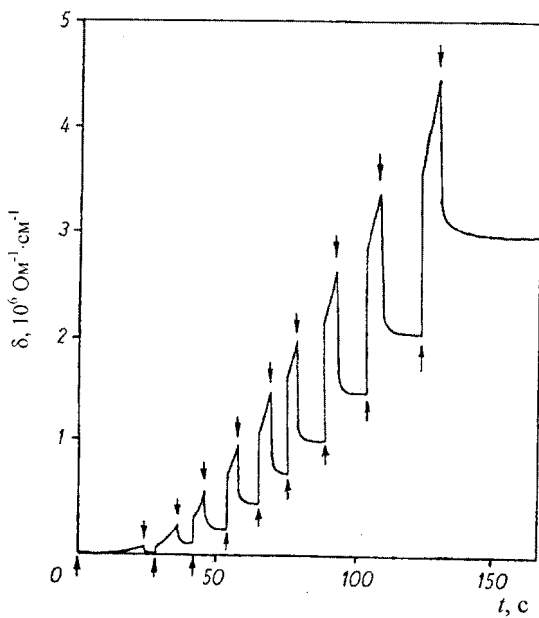


Рис. 2. Кинетика фотопроводимости в PbTe(Ga) при  $T = 4,2 \text{ К}$ .

Стрелки соответствуют моментам включения и выключения ИК-подсветки

## Гашение задержанной фотопроводимости

Выходной сигнал фотоприемника пропорционален времени жизни фотовозбужденных носителей заряда  $\tau$ , значение которого, однако, не должно превышать величину характерного быстродействия  $\tau_0$ , требуемого от фотоприемника, поскольку в противном случае выходной сигнал не будет однозначно соответствовать интенсивности падающего излучения. Для сплавов  $Pb_{1-x}Sn_xTe(In)$  и  $PbTe(Ga)$  время жизни  $\tau$  может варьироваться в очень широких пределах ( $10^{-3}$  с  $< \tau < 10^5$  с) путем изменения состава сплава, концентрации примеси и температуры.

Если температура образца такова, что  $\tau > \tau_0$ , то выходной сигнал более не соответствует интенсивности падающего излучения, он интегрируется фотоприемником.

Эффект задержанной фотопроводимости предоставляет уникальную возможность "внутреннего" интегрирования падающего светового потока, когда накопление фотовозбужденных свободных носителей заряда происходит не в искусственно созданных структурах, а непосредственно в образце благодаря физике процесса.

С другой стороны, фотоприемник может работать в режиме внутреннего интегрирования сигнала только в случае, когда имеется возможность восстановления первоначального темнового состояния образца. В работах [13, 14] был разработан способ гашения задержанной фотопроводимости с помощью СВЧ-импульсов, подаваемых на образец. Эксперименты, описанные в работах [13, 14], проводились с образцами  $Pb_{0,75}Sn_{0,25}Te(In)$ , в которых уровень Ферми стабилизирован внутри запрещенной зоны. Частота СВЧ-импульсов составляла  $\sim 250$  МГц, мощность  $P$  в импульсе — до 0,9 Вт, длительность импульсов — от 10 мкс. Сопротивление образца после окончания каждого СВЧ-импульса не отличалось от первоначального "темнового" значения. СВЧ-гашение задержанной фотопроводимости обусловлено нетепловым механизмом.

## СВЧ-стимуляция квантовой эффективности

Подача СВЧ-импульса на образец приводит не только к гашению задержанной фотопроводимости, но и влияет на кинетику фотоотклика после окончания импульса. При гашении задержанной фотопроводимости импульсом СВЧ с минимально необходимой для гашения длительностью и интенсивностью квантовая эффективность  $\eta$  фотоприемника возрастает до  $\sim 10^2$  [14]. Вне этого режима гашения  $\eta \sim 1$  (рис. 3).

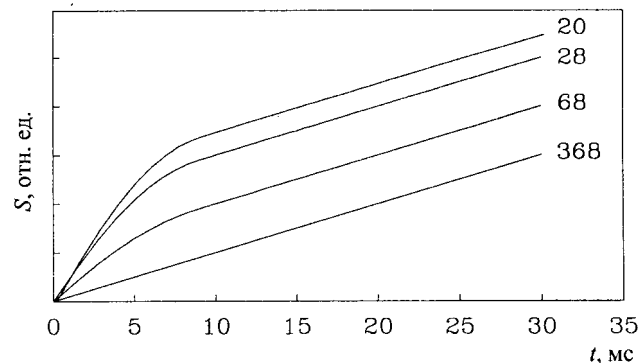


Рис. 3. Зависимость фотопроводимости образца от времени после окончания гасящего СВЧ-импульса для различных значений длительности импульса  $\Delta t$ .

Цифры у кривых — величина  $\Delta t$  в мкс [13]

Объяснение эффекта выглядит следующим образом [14]. При приложении достаточно короткого и маломощного СВЧ-импульса фотовозбужденные электроны переходят не на основное, а на метастабильное примесное состояние  $E_m$ . Барьеры, отделяющие эти состояния как от зонных, так и от основных локальных состояний, малы ( $W \sim 1$  мэВ), поэтому более длительный или более мощный СВЧ-импульс переводит все электроны в основное состояние  $E_0$ . Таким образом, приложение короткого и маломощного СВЧ-импульса приводит к повышенной заселенности примесных метастабильных состояний. Эти локальные состояния гораздо менее локализованы, чем основные, так что некоторые из  $E_m$  — примесных центров могут сформировать кластеры с сильным внутренним взаимодействием. Фотовозбуждение электрона с одного из центров кластера инициирует лавинное опустошение всех остальных центров кластера.

## Спектр фотопроводимости

Измерения спектров фотопроводимости в системах с задержанной фотопроводимостью — достаточно сложная проблема. Фоновое излучение возбуждает долгоживущие неравновесные электроны еще до начала измерений, которые в силу этого не могут начаться из первоначально "темнового" состояния, и обычные измерения спектров фотопроводимости оказываются невозможными.

Как было отмечено выше, имеются две части релаксации фотопроводимости — относительно быстрая и медленная.

Медленная релаксация фотопроводимости трансформируется в фотопамять при низких температурах  $T$ , но когда величина  $T$  приближается к  $T_{al}$  — температуре появления задержанной фотопроводимости, характерное время медленной релаксации становится достаточно малым, так что оказывается возможным проводить

измерения спектров фотопроводимости с использованием стандартного спектроскопического оборудования. Общим свойством спектров относительно "быстрой" фотопроводимости в  $PbTe(Ga)$  и  $Pb_{1-x}Sn_xTe(In)$  является наличие острого пика при энергии, соответствующей ширине запрещенной зоны [15]. Для возможных применений важно, что величина этой энергии может варьировать с температурой, а также при изменении состава сплавов. В частности, для сплавов на основе  $PbTe(Ga)$  можно изменять длину волны, соответствующей этому пику, от 3 до 5,5 мкм.

Было предпринято несколько попыток измерить спектр фотоотклика в  $Pb_{1-x}Sn_xTe(In)$  в отсутствие фонового излучения. Прямые эксперименты, проведенные в работе [16], показали, что в сплавах  $Pb_{1-x}Sn_xTe(In)$  имеется весьма значительный фотоотклик в субщелевой области. В качестве ИК-сенсора использовалась пленка  $Pb_{0,75}Sn_{0,25}Te(In)$ , охлажденная до гелиевой температуры. Фоновое излучение было экранировано. Источник излучения — абсолютно черное тело, находящееся при температуре 300 или 77 К. Это излучение проходило через систему охлаждаемых фильтров, вырезающих узкую полосу на длине волны  $\lambda = 89$  или 115 мкм в зависимости от последнего фильтра в серии, находящегося при гелиевой температуре. На обеих длинах волн наблюдался значительный фотоотклик. Энергия кванта, соответствующего используемым значениям  $\lambda$ , существенно меньше термической энергии активации основного примесного состояния. Это означает, что основной вклад в эффект вносят электроны, локализованные не в основном, а в метастабильном примесном состоянии. Заселение этих состояний с помощью СВЧ-импульсов приводит к "красному" сдвигу  $\lambda$ , по сравнению с темновым состоянием. Величина  $\lambda$ , для этого случая пока не определена, однако имеются основания предполагать, что она может быть очень высока, и спектр фоточувствительности рассматриваемых фотоприемников может перекрывать весь субмиллиметровый диапазон. Дополнительные основания к этому заключению дают результаты работы [17], в которой сообщается о регистрации задержанной фотопроводимости на длинах волн 176 и 241 мкм.

### Радиометрические параметры

В работе [18] была продемонстрирована лабораторная модель радиометра на основе  $Pb_{1-x}Sn_xTe(In)$ , работающая в режиме периодического накопления сигнала и последующего быстрого гашения задержанной фотопроводимости импульсом СВЧ. В качестве источника ИК-подсветки использовалось излучение черного тела. Конструкция обеспечивала полное экранирование образца от фонового излучения. Сеточный фильтр,

использованный в работе [18], обеспечивал эффективное обрезание спектра излучения черного тела на длинах волн  $\lambda > 18$  мкм. Считывающая электроника [18] имела достаточно невысокую чувствительность, например, регистрируемый ток должен был быть не ниже чем  $10^{-7}$  А. Несмотря на это, удалось зарегистрировать поток фотонов  $N = 2 \cdot 10^4$  с<sup>-1</sup>, соответствующий  $NEP = 2 \cdot 10^{-16}$  Вт, при площадке фотоприемника  $0,3 \times 0,2$  мм и частоте измерений 3 Гц. Токовая чувствительность фотоприемника в этом режиме оказалась гигантской ( $S_I \sim 10^9$  А/Вт), однако низкая чувствительность измерительной электроники не позволила получить меньшие значения  $NEP$ . Фотоприемник хорошо работал и при более высоких частотах измерений — до 10 кГц.

В работе [16] проведено прямое сравнение характеристик фотоприемника на основе  $Pb_{1-x}Sn_xTe(In)$  с наиболее совершенными образцами (state of the art) одиночных фотоприемников на базе Si(Sb) и Ge(Ga). Измерения проводились для частот 89 и 115 мкм. Оценки квантовой эффективности дали значение  $\eta \approx 0,5\%$  для  $\lambda = 89$  мкм и  $\eta \approx 1\%$  — для  $\lambda = 115$  мкм. Приведенные оценки являются разумными, поскольку рассматриваемый спектральный диапазон соответствует полосе остаточных лучей в сплавах на основе теллурида свинца и до 99 % падающего излучения отражается кристаллической решеткой. Антиотражающие покрытия, а также работа в режиме СВЧ-стимуляции квантовой эффективности должны увеличить квантовую эффективность. Величина токовой чувствительности фотоприемника при напряжении 40 мВ составляет  $10^3$  А/Вт при времени накопления 1 с. Токовая чувствительность фотоприемника на основе примесного германия в этом же спектральном диапазоне не превышает 3,5 А/Вт.

### "Непрерывная" инфракрасная матрица. Способы считывания информации

Специфика примесных состояний в  $Pb_{1-x}Sn_xTe(In)$  определяет возможность создания специфической "непрерывной" фокальной матрицы дальнего ИК-диапазона. Дело в том, что при локальном воздействии ИК-излучения фотовозбуждение также является локальным, т. е. эффект задержанной фотопроводимости наблюдается только в освещенной части образца, а фотовозбужденные электроны не диффундируют в неосвещенные области [19]. Ситуация не изменяется и в режиме фотопамяти, т. е. после выключения источника подсветки. Характерное время распространения фотовозбуждения превышает по крайней мере  $10^4$  с при  $T = 4,2$  К.

Характерный пространственный размер границы, на котором происходит резкое изменение концентрации свободных электронов, по теоре-

тическим оценкам, составляет около 10 мкм. Экспериментально установлено, что этот размер меньше 100 мкм [19]. Наблюдаемый эффект обусловлен тем, что фотовозбужденные свободные электроны, с одной стороны, не могут уйти достаточно далеко от примесных центров, ответственных за генерацию, из-за электростатического притяжения, а, с другой стороны — не могут рекомбинировать вследствие наличия барьера между локализованными и зонными состояниями.

Таким образом, пространственное распределение дозы ИК-излучения (т. е. произведения интенсивности излучения на время экспозиции) однозначно отображается в пространственном распределении концентрации свободных долгоживущих неравновесных носителей заряда. Другими словами, оказывается возможным построить "непрерывную" фокальную матрицу, в которой сигнал интегрируется в каждом эффективном элементе. Геометрический шум в такой матрице, связанный с неоднородностью параметров отдельных элементов, должен быть минимальным в связи с высокой пространственной однородностью сплавов  $Pb_{1-x}Sn_xTe(In)$  со стабилизированным уровнем Ферми.

Считывание информации с такой матрицы является отдельной проблемой. Возможность, предлагаемая в работе [18], представляется наиболее перспективной.

Рассмотрим достаточно узкий образец  $Pb_{1-x}Sn_xTe(In)$ , на одну из плоскостей которого нанесен полупрозрачный электрод (рис. 4). Исследуемый поток ИК-излучения попадает на образец слева. На противоположную плоскость образца наносятся тонкий буферный слой  $BaF_2$  для согласования периода решетки и тонкий слой кремния или другого относительно широкозонного полуизолирующего полупроводникового материала. Затем наносится второй полупрозрачный электрод. Если локально освещать получившуюся структуру коротковолновым лазером с правой стороны (см. рис. 4), то оказывается возможным создать в пятне лазера высокопроводящую область в широкозонном полупроводнике. Если теперь приложить напряжение между электродами, то ток в такой системе будет определяться проводимостью слоя  $Pb_{1-x}Sn_xTe(In)$  в области пятна лазера, поскольку эффективная толщина полуизолирующего широкозонного полупроводника будет существенно меньше в этой области. Использование этой идеи может, кроме того, существенно понизить темновой ток в такой структуре по сравнению с измерением проводимости слоя  $Pb_{1-x}Sn_xTe(In)$ . Если скорость рекомбинации в широкозонном полупроводнике достаточно высока, то картина распределения концентрации свободных носителей заряда в  $Pb_{1-x}Sn_xTe(In)$  может быть реконструирована просто с помощью сканирования лазерного пуч-

ка по поверхности образца и измерения соответствующего тока в структуре.

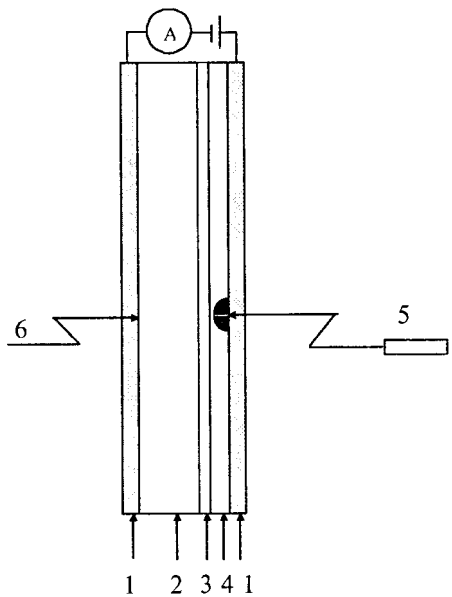


Рис. 4. Устройство для считывания информации с "непрерывной" фокальной матрицы на основе  $Pb_{1-x}Sn_xTe(In)$  [18]:

1 — полупрозрачный электрод; 2 — активный слой  $Pb_{1-x}Sn_xTe(In)$ ; 3 — буферный слой  $BaF_2$ ; 4 — слой кремния (или другого относительно широкозонного полупроводника); 5 — коротковолновый лазер; 6 — исследуемый поток ИК-излучения

## Радиационная стойкость

Высокая радиационная стойкость — еще одно важное достоинство фотоприемников на основе  $Pb_{1-x}Sn_xTe(In)$ , что является следствием высокой плотности примесных состояний, стабилизирующих уровень Ферми ( $\sim 10^{20}$  см $^{-3}$ ). До тех пор пока количество дефектов, обусловленных жестким излучением, меньше концентрации примеси в кристалле, уровень Ферми остается стабилизированным, и фотоэлектрические свойства образца также не меняются. Облучение быстрыми электронами с энергией 5 кэВ с дозами до  $10^{17}$ — $10^{18}$  см $^{-2}$  не приводит к каким-либо изменениям в величине фотоотклика образца [20]. Указанная доза жесткого излучения по меньшей мере на четыре порядка превышает предельно допустимую дозу для других чувствительных ИК-фотоприемников на основе  $Hg_{1-x}Cd_xTe$ , примесного Ge и Si.

## Заключение

Применение сплавов на основе теллурида свинца, легированных элементами III группы, в качестве базовых элементов чувствительных ИК-фотоприемных систем может существенно увеличить возможности получаемых приборов.

Рассматриваемые материалы обладают рядом уникальных свойств, а именно:

- внутреннее интегрирование падающего светового потока;
- возможность быстрого и эффективного гашения накопленного сигнала;
- высокая квантовая эффективность и возможность ее увеличения до  $10^2$  с помощью СВЧ-импульсов;
- возможность создания "непрерывной" матрицы ИК-изображения;
- возможность использования нового способа считывания информации с такой матрицы;
- высокая радиационная стойкость.

Отмеченные свойства позволяют фотоприемникам на базе легированных сплавов теллурида свинца успешно конкурировать с наиболее совершенными аналогами. Преимущества рассматриваемых материалов наиболее полно должны проявляться при работе в составе систем космического базирования, т. е. в условиях слабого сигнала и низкого фона, в присутствии жесткого излучения. Такие условия реализуются, в частности, в ИК-телескопах космического базирования.

---

*Работа выполнена при частичной поддержке грантов РФФИ 04-02-16497; 02-02-17057; 02-02-08083; ИНТАС 2001-0184, NATO Collaborative Linkage Grant.*

## Л и т е р а т у р а

1. Wolf J., Lemke D.// Infrared Phys. 1985. V. 25. P. 327.
2. Haller E. E., Hueschen M. R., Richards P. L.// Appl. Phys. Lett. 1979. V. 34. P. 495.
3. Кайданов В. И., Мельник Р. Б., Черник И. А.// ФТП. 1973. Т. 7. С. 759.
4. Буцимарина Г. С., Грузинов Б. Г., Драбкин И. А., Лев Е. Я., Нельсон Н. В.// Там же. 1977. Т. 11. С. 1874..
5. Акимов Б. А., Брандт Н. Б., Курбанов К. Р., Рябова Л. И., Хасанов А. Т., Хохлов Д. Р.// Там же. 1983. Т. 17. С. 1604.
6. Акимов Б. А., Рябова Л. И., Чудинов С. М., Яценко О. Б.// Там же. 1979. Т. 13. С. 752.
7. Pankratov O. A., Volkov B. A.// Sov. Scientific Reviews A (Physics). 1987. V. 9. P. 355.
8. Каган Ю. М., Кикоин К. А.// Письма в ЖЭТФ. 1980. Т. 31. С. 367.
9. Литвинов В. И., Товстюк К. Д.// ФТП. 1982. Т. 24. С. 896.
10. Белогорюхов А. И., Волков Б. А., Иванчик И. И., Хохлов Д. Р.// Письма в ЖЭТФ. 2000. Т. 72. С. 178.
11. Акимов Б. А., Албул А. В., Никорич А. В., Рябова Л. И., Хохлов Д. Р.// ФТП. 1984. Т. 18. С. 1778.
12. Akimov B. A., Brandt N. B., Klimonshiy S. O., Ryabova L. I., Khokhlov D. R.// Phys. Lett. A. 1982. V. 88A. P. 483.
13. Акимов Б. А., Брандт Н. Б., Хохлов Д. Р., Чесноков С. Н.// Письма в ЖТФ. 1988. Т. 14. С. 731.
14. Akimov B. A., Khokhlov D. R.// Semicond. Sci. Technol. 1993. V. 8. P. S349.
15. Белогорюхов А. И., Иванчик И. И., Пономарев С. В., Слынько Е. И., Хохлов Д. Р.// Письма в ЖЭТФ. 1996. Т. 63. С. 342.
16. Khokhlov D. R., Ivanchik I. I., Raines S. N., Watson D. M., Pipher J. L.// Appl. Phys. Lett. 2000. V. 76. P. 2835.
17. Кристовский К. Г., Кожанов А. Е., Долженко Д. Е., Иванчик И. И., Watson D., Хохлов Д. Р.// ФТП. 2004. Т. 46. С. 123.
18. Chesnokov S. N., Dolzhenko D. E., Ivanchik I. I., Khokhlov D. R.// Infrared Phys. 1994. V. 35. P. 23.
19. Akimov B. A., Brandt N. B., Chesnokov S. N., Egorov K. N., Khokhlov D. R.// Solid State Commun. 1988. V. 66. P. 811.
20. Скипетров Е. П., Некрасова А. Н., Хорош А. Г.// ФТП. 1994. Т. 28. С. 815.

*Статья поступила в редакцию 10 октября 2004 г.*

## New type of materials for high-performance infrared photodetectors

B. A. Akimov, N. B. Brandt, L. I. Ryabova, D. R. Khokhlov  
M. V. Lomonosov Moscow State University, Moscow, Russia

*The paper presents basic properties of doped lead telluride-based alloys. These properties make possible development of the high-performance photonic detectors of radiation in the far-infrared and submillimeter wavelength range. It is demonstrated that these properties allow to construct photodetectors with parameters substantially exceeding those of the state of the art analogs.*